

УДК 669.12 235.24 : 538.953.955

© 1991

ФЛУКТУАЦИОННОЕ ПОСЛЕДЕЙСТВИЕ  
ПРИ МАГНИТОСТРУКТУРНОМ ФАЗОВОМ ПЕРЕХОДЕ  
1-ГО РОДА АНТИФЕРРО—ФЕРРОМАГНЕТИЗМ  
В СПЛАВЕ (Fe, Ni)Rh

E. A. Розенберг, A. B. Четвериков

Детально исследовано поведение необратимых «восприимчивостей»  $x_{irr}$  и  $d_{irr}$ , а также постоянных  $S_T$  и  $S_H$ , характеризующих магнитное последействие деформаций в сплаве  $(\text{Fe}_{0.965}\text{Ni}_{0.035})_{0.49}\text{Rh}_{0.51}$  в области индуцируемых температурой и полем магнитоструктурных фазовых переходов 1-го рода. Из экспериментальных данных оценены универсальные (не зависящие от формы образца и вида зависимостей деформации от температуры и поля) константы последействия  $kT/r$  и  $kT/q$ , а также активационные объемы  $V_T$  и  $V_H$ . Полученные результаты сравниваются с известными для флуктуационного последействия намагниченности в высококоэрцитивных материалах. Они правильно описываются ранее построенной теорией [2].

1. В [1] было впервые экспериментально обнаружено гигантское по времени и величине магнитное последействие (МП) после изменения температуры  $T$  на примере последействия термического расширения при магнитоструктурном фазовом переходе 1-го рода (МФП-1) из антиферро-в ферромагнитное состояние для сплавов на основе  $\text{Fe}_{0.49}\text{Rh}_{0.51}$ . Дальнейшее изучение этого последействия в области МФП-1 в работе [2] позволило: 1) однозначно установить его флуктуационную природу, 2) обнаружить в упомянутых сплавах традиционно исследуемое в магнетиках МП после изменения магнитного поля  $H$ , 3) доказать эквивалентность  $T$ -и  $H$ -индуцируемого МП, 4) теоретически описать полученные результаты.

Следующим необходимым этапом исследования магнитного последействия при МФП-1 является подробное изучение наблюдаемых эффектов для индуцированных  $H$  и  $T$  фазовых переходов. Это, с одной стороны, позволит проверить справедливость теоретических представлений, развитых в [2], а с другой — даст возможность сопоставить полученные результаты с данными (см., например, [3-5]) по МП намагниченности высококоэрцитивных материалов при их перемагничивании. Эти задачи и решались в настоящей работе.

Все измерения проведены на поликристаллическом ОЦК сплаве  $(\text{Fe}_{0.965}\text{Ni}_{0.035})_{0.49}\text{Rh}_{0.51}$ , получение и аттестация которого описаны в [6]. С ростом  $T$  при  $T_k^+ \simeq 151.5$  К в нем происходит спонтанный МФП-1 из антиферромагнитного (с волновым вектором  $\mathbf{k} = \{1/2, 1/2, 1/2\}$ ) в ферромагнитное состояние ( $\mathbf{k} = \{0, 0, 0\}$ ) [6]. Такой переход сопровождается, например, гигантскими аномалиями относительного удлинения [1, 2] порядка  $2 \cdot 10^{-3}$ , а также [6, 7] электро- и магнитосопротивления  $\simeq 80$  мкОм·см и  $\simeq 80\%$  соответственно. Переход является гетерогенным (существуют две фазы), о чем свидетельствует то, что он совершается не скачком при одной температуре, а сравнительно плавно в интервале  $\Delta T \simeq 10$  К. При охлаждении из ферромагнитного состояния обратный гетерогенный МФП-1 регистрируется при  $T_k^- \simeq 122.5$  К. Гистерезис, таким образом, составляет 29 К.

Исследуемым внутренним термодинамическим параметром, как и в [1, 2], являлась деформация  $\lambda$  (ее выбор подробно обоснован в [2]). Деформации измерялись с точностью до  $5 \cdot 10^{-7}$  малобазными тензодатчиками сопротивления по методике [8]. Температурный интервал измерений  $77 \leq T \leq 200$  К включал в себя область гистерезисных изменений  $\lambda(T)$  (область МФП-1), использовалось также постоянное магнитное поле  $|H| \leq 16$  кЭ. Наложение  $H$  позволяет исследовать не только температурные, но и полевые сечения «многомерной» гистерезисной области МФП-1 в «пространстве»  $H, T, \lambda$  [2]. МП регистрируется на границах этой области (где нарушается линейность зависимостей  $\lambda(H, T)$ ). Измерения последействия после «мгновенного» изменения  $H$  или  $T$  проводились через интервалы времени  $\Delta t = 60$  с вплоть до достижения относительно устойчивого значения  $\lambda$  (изменения  $\lambda \leq 5 \cdot 10^{-7}$  за  $\Delta t = 120$  с). Точность стабилизации  $T$  и  $H$  при измерении МП составляла 0.02 К и 0.2 % соответственно.

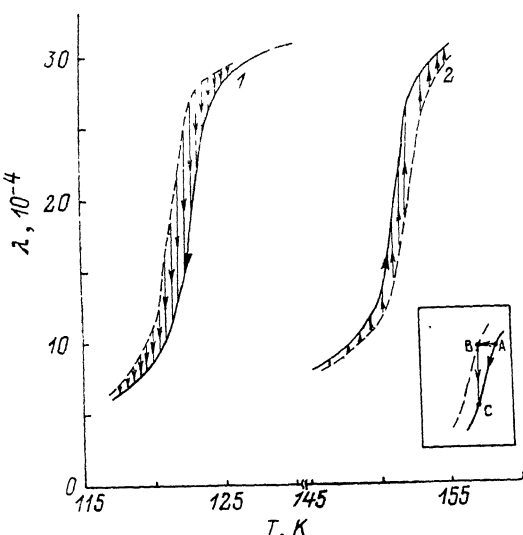


Рис. 1. Зависимости деформации сплава  $(\text{Fe}, \text{Ni})_{0.49}\text{Rh}_{0.51}$  от температуры в области магнитоструктурного фазового перехода 1-го рода.

1 — нисходящая, 2 — восходящая ветви гистерезисных изменений  $\lambda(T)$ . Сплошные кривые — относительно устойчивые, штриховые — неустойчивые состояния. На вставке — схема измерения магнитного последействия.

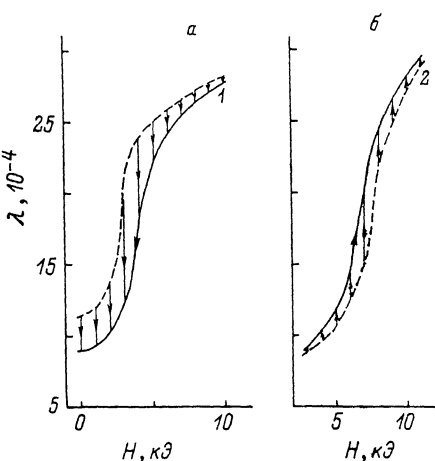


Рис. 2. Зависимости деформации от поля в области индуцированного  $H$  фазового перехода.

Обозначения те же, что и на рис. 1. Температура измерения (К): 1 — 119.4, 2 — 146.5.

Деформации  $\lambda$  измерялись как функции  $T, H$  и  $t$

$$\lambda = \frac{\Delta l}{l} = \frac{l(T, H, t) - l(T_r, 0, \infty)}{l(T_r, 0, \infty)}, \quad (1)$$

где  $l$  — длина образца;  $T_r$  — реперная температура, равная в нашем случае 77 К;  $t = \infty$  условно обозначает устойчивое во времени состояние. Для  $H = 0$  деформация  $\lambda$  описывает термическое расширение изучаемого сплава и последействие термического расширения. Если  $H \neq 0$ , то  $\lambda$  соответствует термическому расширению и его последействию в магнитном поле.

2. На рис. 1 приведены нисходящая (1) и восходящая (2) ветви температурного гистерезиса термического расширения, существующего в сплаве  $(\text{Fe}, \text{Ni})_{0.49}\text{Rh}_{0.51}$  при спонтанном МФП-1 по температуре. Штриховые кривые соответствуют неустойчивым, а сплошные — относительно устойчивым (после окончания МП) состояниям на этих ветвях. Измерения проведены следующим образом (см. вставку на рис. 1): образец медленно (со скоростью  $\leq 5$  К/ч) нагревался (или охлаждался) до заданного значения  $T$  и выдерживался при этой температуре  $\Delta t \approx 1$  ч (точка А), затем

температура «мгновенно» (за время  $\Delta t_1 \ll \Delta t_{\text{МП}}$  — время длительности МП) менялась на  $\Delta T = 2$  К (точка *B*), далее она стабилизировалась и измерялось МП (вертикальные стрелки на рис. 1) в течение  $\Delta t_{\text{МП}}$ , пока не достигалось относительно устойчивое значение  $\lambda$  (точка *C*). Для получения следующих точек на кривых рис. 1 образец снова приводился в исходное состояние — охлаждался до 77 К (антиферромагнетик) или нагревался до 200 К (ферромагнетик), после чего повторялся описанный цикл измерений. Температуры измерений выбирались так, чтобы для соседних *T* интервалы изменений  $\lambda$  при МП перекрывались.

На рис. 2 представлены неустойчивые и относительно устойчивые восходящая и нисходящая ветви индуцированного *H* фазового перехода в изученном сплаве. Методика их измерения отличалась от изложенной ранее. Восходящие ветви (кривые 2, рис. 2) получены после нагрева образца до  $T_1 \approx 146.5$  К  $< T_k^+ \approx 151.5$  К, стабилизации этой температуры, выдержки при  $T_1$  в течение часа, включения поля *H* требуемой величины и измерения МП при  $T_1$ ,  $H = \text{const}$ . Магнитная фазовая диаграмма исследуемого сплава [6, 7] такова, что наложение *H* уменьшает температуру перехода. В связи с этим нисходящие ветви (кривые 1, рис. 2) измерялись после охлаждения образца из ферромагнитного состояния до  $T_2 \approx 119.4$  К  $< T_k^- \approx 121$  К в магнитном поле  $H_2 = 12$  кЭ, стабилизации этой температуры, выдержки в ней, уменьшения  $H_2$  на  $\Delta H$  требуемой величины и измерения МП при  $T_2$ ,  $(H_2 - \Delta H) = \text{const}$ . Отметим, что данные рис. 1, 2 являются прямыми экспериментальными подтверждениями существования «многомерной» гистерезисной области в «пространстве» *T*, *H*,  $\lambda$  вблизи МФП-1, на границах которой возникают процессы МП (переход от неустойчивых к относительно устойчивым состояниям). Впервые представления о таких областях были введены в [9] и далее развиты в [2].

Используя результаты, представленные на рис. 1, 2, удалось исследовать поведение параметров, описывающих МП, в области существования такого последействия. Из квазиравновесных, относительно устойчивых зависимостей  $\lambda(T)$  и  $\lambda(H)$  вычислялись необходимые для дальнейшего анализа МП необратимые коэффициент термического расширения  $x_{irr}$  и чувствительность по полю  $d_{irr}$

$$x_{irr} = \frac{\partial \lambda}{\partial T} - \left( \frac{\partial \lambda}{\partial T} \right)_{rev},$$

$$d_{irr} = \frac{\partial \lambda}{\partial H} - \left( \frac{\partial \lambda}{\partial H} \right)_{rev}. \quad (2)$$

Специально проведенный эксперимент показал, что обратимый коэффициент термического расширения  $(\partial \lambda / \partial T)_{rev}$  практически постоянен и близок к измеренному в магнитно-однородных состояниях сплава (где зависимости  $\lambda(T)$  линейны). Обратимая же чувствительность  $(\partial \lambda / \partial H)_{rev}$  близка к нулю.

Для того чтобы универсальным и однозначным образом характеризовать все точки на кривых  $\lambda(T)$  и  $\lambda(H)$ , введем величину необратимой деформации  $\lambda_{irr}$

$$\lambda_{irr}(T, H) = \lambda_{\text{изм}}(T, H) - \int_{T_r}^T x_{rev} dT - \int_0^H d_{rev} dH, \quad (3)$$

где  $\lambda_{\text{изм}}$  — измеренная деформация,  $T_r = 77$  К — реперная температура. Для нашего случая

$$\lambda_{irr}(T, H) = \lambda_{\text{изм}}(T, H) - x_{rev}(T - T_r). \quad (4)$$

Напомним, что при флуктуационном МП, вызванном изменениями *T* или *H*, зависимости  $\lambda$  от *t* имеют соответственно вид

$$\lambda_T = \text{const} + S_T \ln t,$$

$$\lambda_H = \text{const} + S_H \ln t, \quad (5)$$

где  $S_T$  и  $S_H$  — константы МП. Характерные зависимости  $\lambda_T (\ln t)$  и  $\lambda_H (\ln t)$ , из которых вычислялись  $S_T$  и  $S_H$ , представлены на рис. 3. Видно, что для аномального (или гигантского) последействия [1, 2, 9] они не линейны. Т. е. константы МП меняются в процессе последействия. Согласно [2], это обусловлено изменением при МП относительного объема магнитных фаз, который характеризует величина  $\lambda_{irr}$ . Для каждого наблюдаемого процесса последействия (например, по  $T$ ) из зависимости

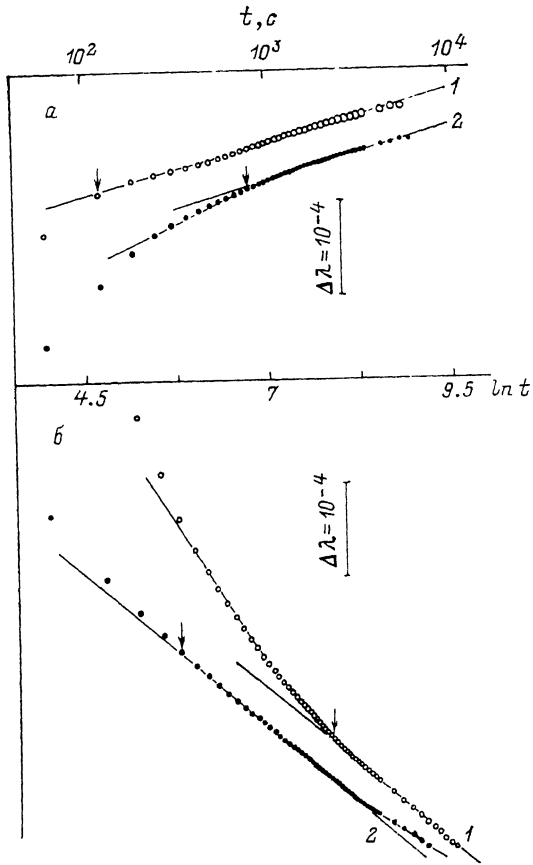


Рис. 3. Зависимости  $\lambda (\ln t)$  при измерении магнитного последействия.

а —  $T$ -индукцированный фазовый переход, восходящая ветвь. Температура измерения (К): 1 — 153.4, 2 — 153; б —  $H$ -индукцированный фазовый переход, нисходящая ветвь. Значения изменения поля  $\Delta H$  (кЭ): 1 — 9, 2 — 10.

$\lambda_T (\ln t)$ , используя (4) и (5), можно получить кривые  $S_T (\lambda_{irr})$ . Как уже отмечено, при измерениях МП для соседних  $T$  интервалы изменений  $\lambda_{irr}$  перекрывались. Согласно (4), величины  $\lambda_{irr}$  однозначно связаны с  $\lambda_{irr}$  (перекрываются и интервалы изменений  $\lambda_{irr}$ ). Оказалось, что в такой области перекрытия  $\lambda_{irr}$  значения  $S_T (\lambda_{irr})$  для соседних  $T$  совпадают. Таким образом,  $S_T$  для данной ветви является однозначной функцией  $\lambda_{irr}$ . Аналогичный результат получен и для  $S_H$ .

Графики зависимостей  $S_T (\lambda_{irr})$  и  $S_H (\lambda_{irr})$  приведены на рис. 4 (а, б). Там же изображены зависимости  $x_{irr} (\lambda_{irr})$  и  $d_{irr} (\lambda_{irr})$ . Как видно из рис. 4, а, зависимости  $S_T$  и  $x_{irr}$  от  $\lambda_{irr}$  имеют сложный характер. На восходящей и нисходящей ветвях гистерезисного изменения  $\lambda (T)$  наблюдаются три максимума. При этом положения максимумов и их абсолютные величины несколько различаются (ср. рис. 4, а, 1, 2), однако вид зависимостей  $S_T (\lambda_{irr})$  и  $x_{irr} (\lambda_{irr})$  для каждой из ветвей практически совпадает. Согласно рис. 4, б, параметры МП, индуцируемого полем,  $S_H$  и  $d_{irr}$  имеют более плавные зависимости от  $\lambda_{irr}$  с одним максимумом. Так же как и в случаев

*T*-индуцированного МП (рис. 4, а), наблюдаются различия в величине и положении максимумов кривых  $S_H(\lambda_{irr})$  и  $d_{irr}(\lambda_{irr})$  на восходящей и нисходящей ветвях изменения  $\lambda$  (*H*) (ср. рис. 4, б, 1, 2). Сохраняется и совпадение вида этих зависимостей для каждой из ветвей. Более плавные зависимости  $S_H(\lambda_{irr})$  и  $d_{irr}(\lambda_{irr})$  по сравнению с  $S_T(\lambda_{irr})$  и  $x_{irr}(\lambda_{irr})$  могут объясняться влиянием размагничивающего поля. Из-за неэллипсоидальной формы образца величина этого поля различна в разных его точках, что, по-видимому, приводит к наблюдаемому «размытию» зависимостей  $S_H$  и  $d_{irr}$  от  $\lambda_{irr}$ .

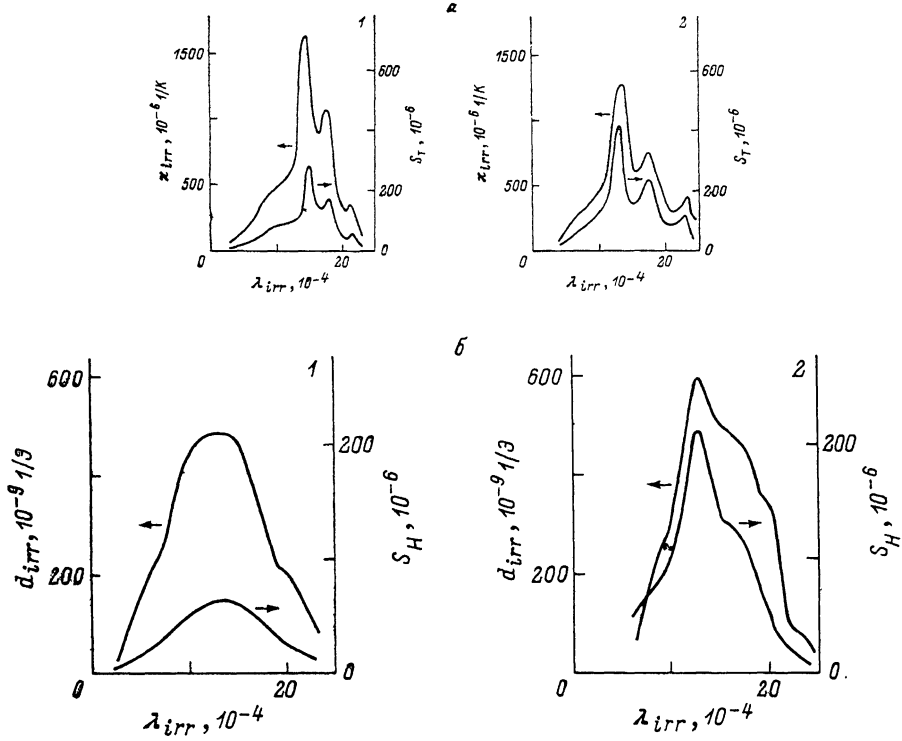


Рис. 4. Связь параметров последействия с необратимой деформацией для *T* (а)- и *H* (б)-индуцированного фазового перехода.

1 — восходящая, 2 — нисходящая ветви гистерезисных зависимостей  $\lambda$  (*T*, *H*).

3. Полученные данные позволяют определить аналогично [5, 10] не зависящие от формы ветвей гистерезисных изменений  $\lambda$  (*T*, *H*) константы МП

$$\frac{kT}{r} = \frac{S_T}{x_{irr}}, \quad \frac{kT}{q} = \frac{S_H}{d_{irr}}, \quad (6)$$

где  $k$  — константа Больцмана;  $r = \partial E_A / \partial T$ ,  $q = \partial E_A / \partial H$  — производные энергии активации (величины энергетических барьеров, преодолеваемых межфазными границами в процессе *T*- и *H*-индуцируемых МП).

Значения  $kT/r$  и  $kT/q$

	$kT/r, \text{К}$	$kT/q, \text{Э}$	$V_T, \text{см}^3$	$V_H, \text{см}^3$
Восходящая ветвь	$0.15 \pm 0.02$	$132 \pm 5$	$20 \cdot 10^{-20}$	$12.7 \cdot 10^{-20}$
Нисходящая ветвь	$0.27 \pm 0.04$	$179 \pm 5$	$11 \cdot 10^{-20}$	$7.6 \cdot 10^{-20}$

Полученные значения  $kT/r$  для восходящей и нисходящей ветвей зависимости  $\lambda(T)$  приведены в таблице. Они практически неизменны для всех  $\lambda_{irr}$  (т. е. температур, при которых происходит МФП-1), отличаясь друг от друга. Константы же  $kT/q$  меняются по величине. На рис. 5 представлены зависимости  $kT/q$  от поля  $H$ , при котором измерялись соответствующие величины  $d_{irr}$ . Видно, что значения  $kT/q$  слабо меняются при  $H \geq 5$  кЭ и резко возрастают при  $H \rightarrow 0$ . Это, по-видимому, связано с уменьшением намагниченности ферромагнитной фазы в малых полях ( $q \sim M_s$ ). Значения  $kT/q$  для  $H \geq 5$  кЭ, где эта намагниченность, согласно [6], близка к намагниченности насыщения  $M_s$ , также приведены в таблице.

Используя полученные значения  $kT/r$  и  $kT/q$ , можно оценить величины активационных объемов  $V_T$  и  $V_H$  (преодолеваемых межфазной границей при термоактивируемом смещении между ближайшими положениями

с локальным минимумом и максимумом граничной энергии). В соответствии с [2]

$$r = \frac{\partial E_A}{\partial T} = \frac{\partial (\Delta g^{ij})}{\partial T} V_T, \quad (7)$$

$$q = \frac{\partial E_A}{\partial H} = \frac{\partial (\Delta g^{ij})}{\partial H} V_H = M_s V_H, \quad (8)$$

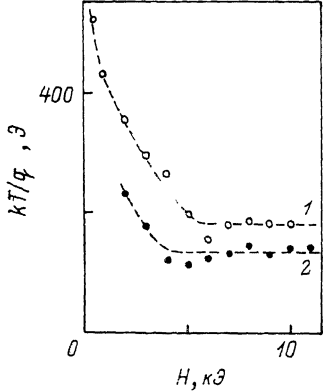


Рис. 5. Зависимость константы последействия  $kT/q$  от магнитного поля для  $H$ -индукционного фазового перехода.

1 — нисходящая, 2 — восходящая ветви гистерезисных изменений  $\lambda(H)$ .

где  $\Delta g^{ij}$  — разность плотностей термодинамических потенциалов магнитных фаз. Для оценки  $\partial(\Delta g^{ij})/\partial T$  воспользуемся результатами теории [11], исходящей из электронной природы МФП-1 в сплавах на основе Fe-Rh. В [11] получена квадратичная зависимость поля перехода  $H_k$  от температуры

$$H_k(T) = H_{k0} \left(1 - \frac{T^2}{T_k^2}\right), \quad (9)$$

где  $H_{k0}$  — поле перехода при  $T=0$ ,  $T_k$  — температура перехода при  $H=0$ . Для нашего сплава эта зависимость подтверждена экспериментально [6]. Тогда из условия  $\Delta g^{ij}=0$  на линии фазового перехода можно получить

$$\Delta g^{ij}(T) = M_s H_{k0} \left(1 + \frac{T^2}{T_k^2}\right),$$

$$\frac{\partial(\Delta g^{ij})}{\partial T} = \frac{2M_s H_{k0}}{T_k^2}. \quad (10)$$

И окончательно

$$V_T = \frac{kT_k^2}{2M_s H_{k0} (kT/r)},$$

$$V_H = \frac{kT}{M_s (kT/q)}. \quad (11)$$

Используя вычисленные  $kT/r$  и  $kT/q$ , а также величины  $M_s \approx 1220$  Гс,  $H_{k0} \approx 35$  кЭ [6] и  $T_k \approx 137$  К, можно оценить  $V_T$  и  $V_H$  для восходящей и нисходящей ветвей (см. таблицу). Видно, что величины активационных объемов несколько отличаются друг от друга, причем на восходящей ветви они больше, чем на нисходящей, и  $V_T > V_H$ .

Оценка средних активационных длин дает значение  $l_t = \sqrt[3]{V_t} \approx 5.4 \times 10^{-7}$  см,  $l_H = \sqrt[3]{V_H} \approx 4.6 \cdot 10^{-7}$  см. Согласно соотношениям (19) и (20) из [2], толщина межфазной границы, определяемая упругой энергией,  $\delta_E \approx 6.5 \cdot 10^{-7}$  см. Таким образом, как и в случае высококоэрцитивных магнетиков [5], значения  $\delta_E$  и  $l_t, H$  хорошо коррелируют друг с другом.

Экспериментальные результаты, приведенные на рис. 1, 2, 4, 5 и в таблице, свидетельствуют о наблюдаемой «несимметрии» параметров МП на восходящих и нисходящих ветвях гистерезисных изменений  $\lambda(T)$  и  $\lambda(H)$  при МФП-1. Простейшее объяснение этого факта — свойства образца (реальная несимметрия ветвей зависимостей  $\lambda(T)$  и  $\lambda(H)$  такая, например, как существует для петли гистерезиса  $\lambda(T)$  сплава  $\text{Fe}_{0.49}(\text{Rh}, \text{Pd})_{0.51}$  согласно [1]). В исследуемом же сплаве  $(\text{Fe}, \text{Ni})_{0.49}\text{Rh}_{0.51}$  подобная несимметрия ранее [1] не проявлялась, но могла выявиться при более детальных исследованиях МП в данной работе.

Не исключено также, что отмеченная несимметрия связана с различной спецификой зародышеобразования ферромагнитной фазы в антиферромагнитной матрице (восходящая ветвь), и наоборот (нисходящая ветвь). Аргументом в пользу такого предположения могут быть, например, различные температурные зависимости критических полей переходов  $H_k^+$  при росте  $H$  и  $H_k^+$  при его уменьшении для данного сплава, наблюдавшиеся в [7]. Однако для более четкого ответа на вопрос о природе несимметрии необходимы дальнейшие экспериментальные и теоретические исследования.

Следует отметить, что зависимости  $S$  и не обратимых «восприимчивостей» от внешних параметров с максимумом типа приведенных на рис. 4, б наблюдаются и в высококоэрцитивных материалах [3-5]. Три максимума, последовательно возникающих для  $S_t$  и  $x_{irr}$  в зависимости от  $\lambda_{irr}$  на рис. 4, а связаны, по-видимому, с особенностями образца и выявляются при измерениях с малым шагом по внешнему параметру (в данном случае — по  $T$ ). Наблюданное сходство в зависимостях  $S_t, H, x_{irr}, d_{irr}$  от  $\lambda_{irr}$  в нашем случае и для кривых  $S(H)$ , а также  $\chi_{irr}(H)$ , измеренных в [3-5], подтверждает общую (флуктуационную) природу МП, регистрируемого при перемагничивании ферромагнетиков и при МФП-1.

Однако между такими последействиями имеются и существенные отличия. В процессе МФП-1 проявляют себя большие обменные силы. В частности, при фазовом переходе, исследованном в данной работе, изменение знака обменного взаимодействия вызывает огромные упругие деформации. Это в свою очередь приводит к большим по времени и величине релаксационным эффектам (магнитному флуктуационному последействию). В процессе такого МП нарушается линейная связь исследуемого внутреннего термодинамического параметра с  $\ln t$ , характерная для флуктуационного последействия, — наблюдаются так называемые аномальное и гигантское МП [1, 2, 8].

Резюмируя полученные результаты, можно утверждать следующее. Подробно изучено поведение параметров, характеризующих магнитное последействие в сплаве  $(\text{Fe}_{0.965}\text{Ni}_{0.035})_{0.49}\text{Rh}_{0.51}$  при  $H$ - и  $T$ -индуцированных магнитоструктурных фазовых переходах 1-го рода. С одной стороны, поведение этих параметров подчиняется общим закономерностям флуктуационного последействия, установленным, например, для высококоэрцитивных магнетиков [3-5]. Это поведение правильно описывается теорией, предложенной ранее [2]. С другой стороны, имеется ряд специфических особенностей, связанных с природой фазового перехода и наличием «многомерной» гистерезисной области в «пространстве» внешних ( $H, T$ ) и внутренних ( $\lambda$ ) термодинамических параметров. Получены прямые экспериментальные доказательства существования поверхностей неравновесных состояний на ее границах, где и возникает последействие. Локальные аномалии формы таких поверхностей влияют на вид зависимостей  $\lambda(\ln t)$ , регистрируемых при аномальном и гигантском последействиях.

# Список литературы

- [1] Власов К. Б., Розенберг Е. А., Четвериков А. В., Бааранов Н. В. // ФТТ. 1989. Т. 31. № 2. С. 219—221.
- [2] Vlasov K. B., Rozenberg E. A., Chetverikov A. V. // JMMM, 1991. V. 94. N 1. P. 96—108.
- [3] Givord D. et al. // JMMM. 1987. V. 67. N 3. P. L281—L285; J. Appl. Phys. 1987. V. 61. N 8. P. 3457—3459.
- [4] Viadieu T. et al. // J. de Physique. 1988. V. 49. N 12. Suppl. P. C8 651—652.
- [5] Street R. et al. // JMMM. 1987. V. 69. N 1. P. 106—112; J. de Physique. 1988. V. 49. N 12. Suppl. P. C8 629—630.
- [6] Бааранов Н. В., Барабанова Е. А. // Металлофизика. 1988. Т. 10. С. 84—89.
- [7] Бааранов Н. В., Синицын Е. В., Козлов А. И., Барабанова Е. А. // ФММ. 1991. № 2. С. 100—106.
- [8] Кутсар А. Р. // ПТЭ. 1966. № 4. С. 171—173.
- [9] Власов К. Б., Розенберг Е. А., Четвериков А. В. // ЖЭТФ. 1987. Т. 93. № 5. С. 1812—1820.
- [10] Gaunt P. // Phil. Mag. 1976. V. 34. N 5. P. 775—780.
- [11] Tu P. et al. // J. Appl. Phys. 1969. V. 40. N 3 (11). P. 1368—1369.

Институт физики металлов  
УРО АН СССР  
Екатеринбург

Поступило в Редакцию  
24 июня 1991 г.